



# Os experimentos de Purcell & Bloch



## O experimento Ressonância Magnética Nuclear - Onda Contínua (CW)

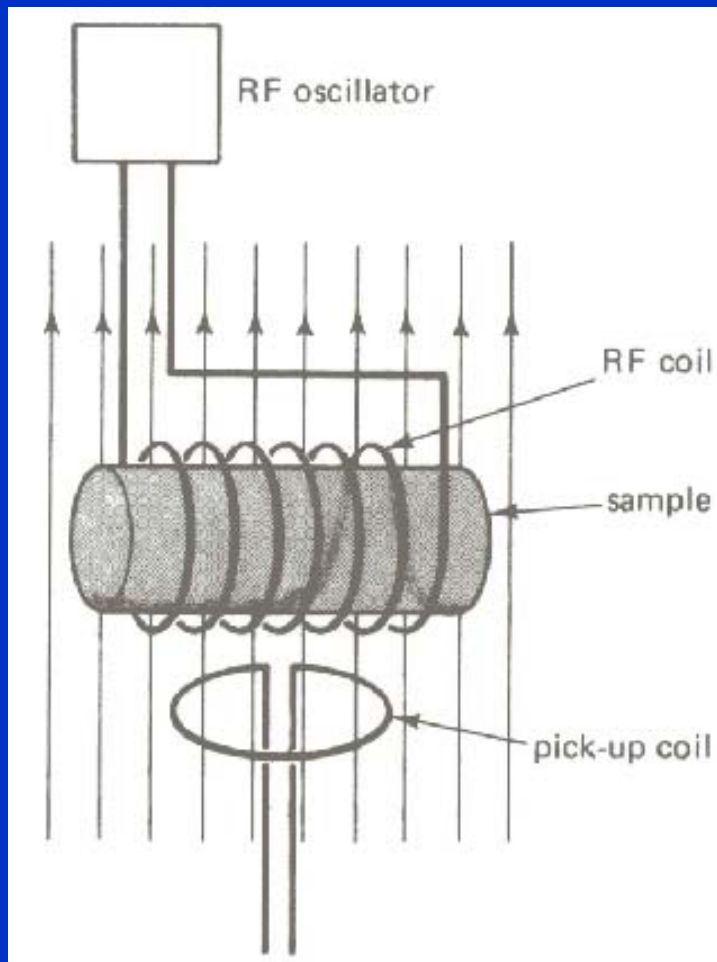
*E.M Purcell, H.C Torrey, and R.V. Pound, Physical Review 69, 37 (1946) - Nobel 1952*

*Massachusetts Institute of Technology, Cambridge - USA*

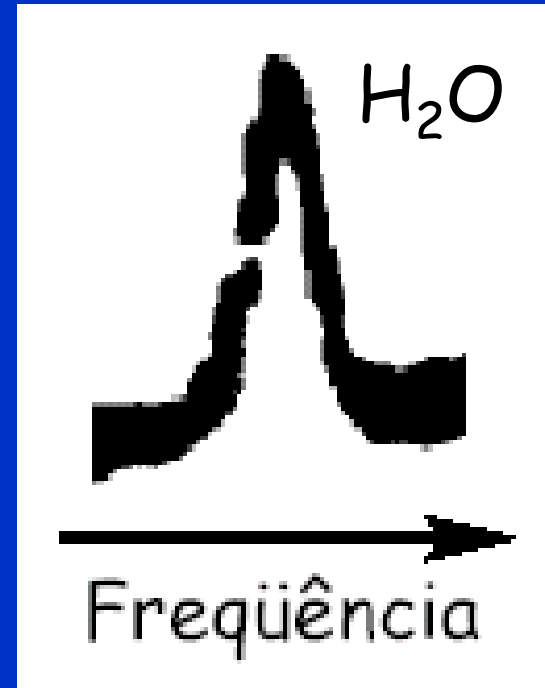
## O experimento Ressonância Magnética Nuclear - Pulsada

*F. Bloch, W.W. Hansen, M Packard, Physical Review 69, 127 (1946) - Nobel 1952*

*Stanford University, California - USA*



**Experimentos realizados sem feixes moleculares !!!**



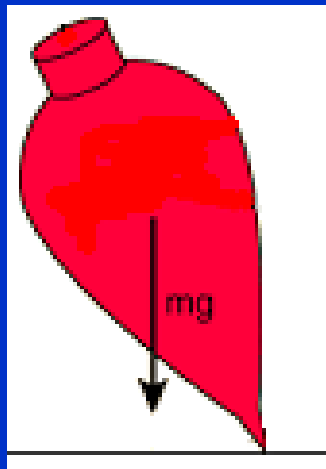


# Giroscópio

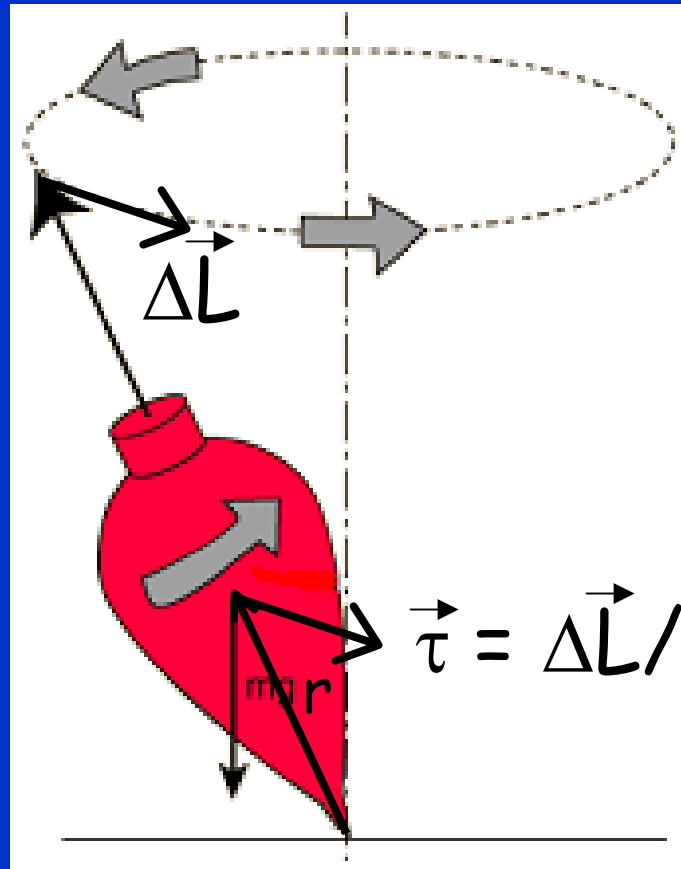
Com rotação

$$\vec{L} = I \vec{\omega}$$

Sem rotação



Cai !



Movimento de  
Precessão !

$f \sim 1 \text{ Hz}$

\*\*\*\*\* Lembrando:  $|\tau| = rF = I\alpha = I\Delta\omega/\Delta t = \Delta L/\Delta t$

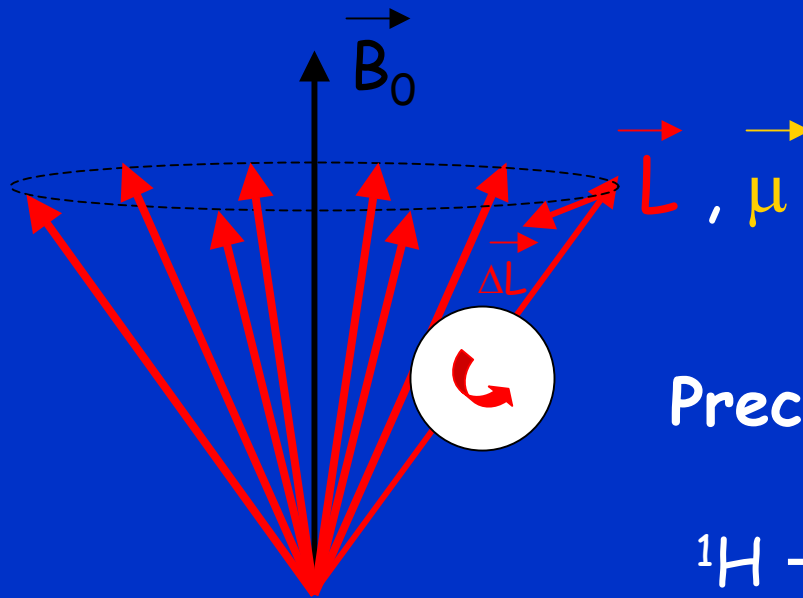


# Aspectos "Clássicos" da RMN

Núcleo atômico:

momento angular (spin):  $\vec{L}$

momento magnético:  $\vec{\mu}$



Precessão:  $\omega_L = \gamma B_0$

$^1\text{H} \rightarrow 42,58 \text{ MHz/Tesla}$

$^{13}\text{C} \rightarrow 10,71 \text{ MHz/Tesla}$

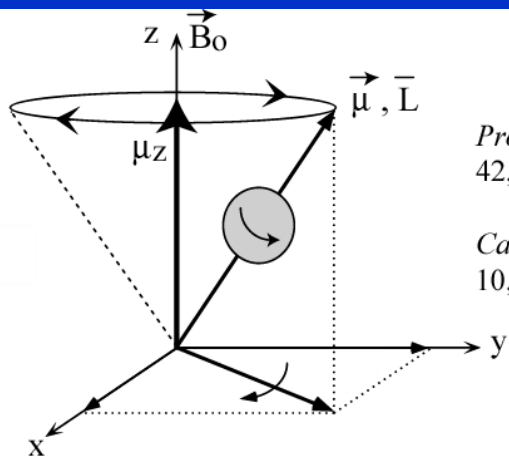
## Núcleos com spin $\frac{1}{2}$

Isótopo	Spin	Abundância natural (%)	Frequência de Larmor (MHz), 10 T
$^1\text{H}$	1/2	99,98	425,75
$^{13}\text{C}$	1/2	1,108	104,07

## Núcleos com spin $> \frac{1}{2}$

Isótopo	Spin	Abundância natural (%)	Frequência de Larmor (MHz), 10 T	Mom. de quadrupolo elétrico ( $10^{-28} \text{ m}^2$ )
$^7\text{Li}$	3/2	92,58	165,45	$-4,0 \cdot 10^{-2}$
$^{23}\text{Na}$	3/2	100	112,60	0,1
$^{133}\text{Cs}$	7/2	100	56,05	$-3,0 \cdot 10^{-3}$

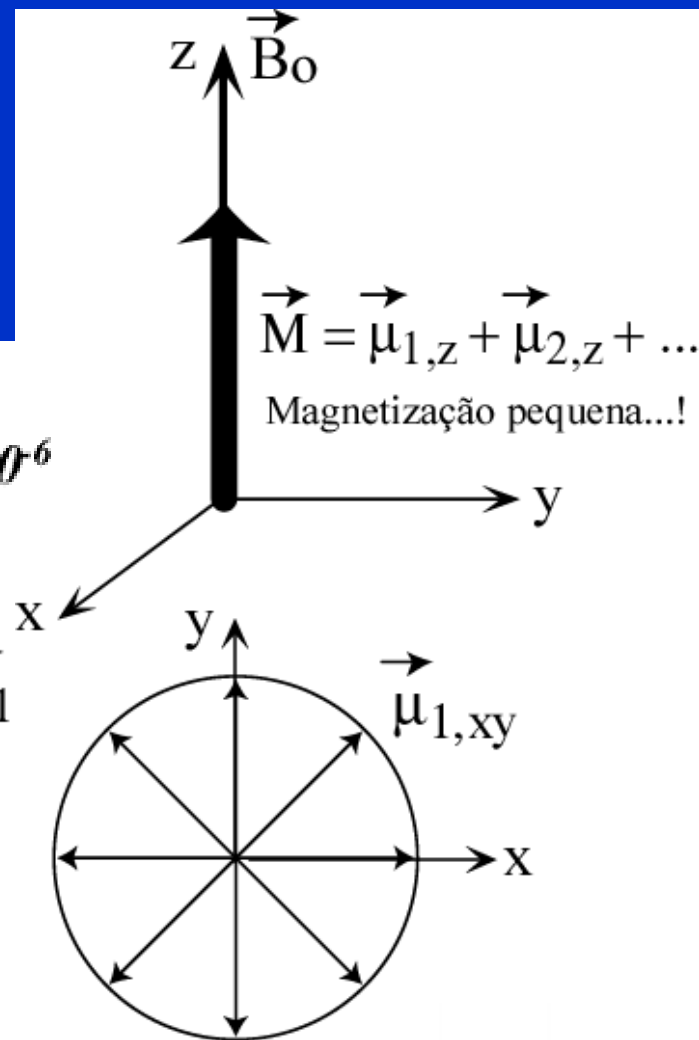
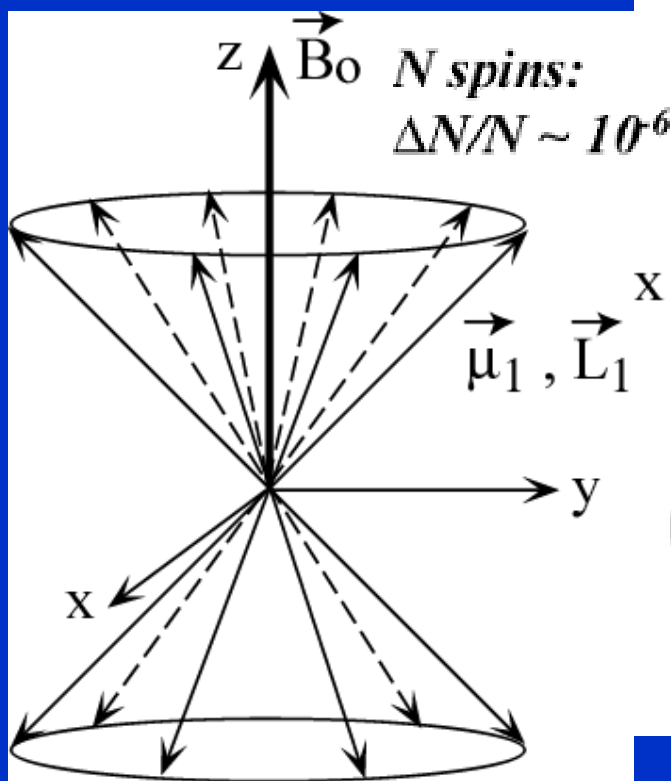
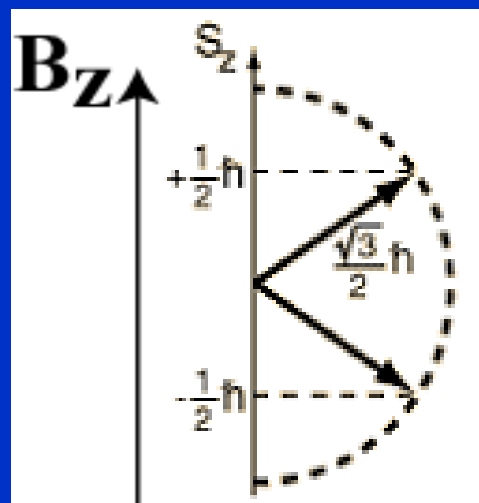
# Aspectos "Clássicos" da RMN



Próton:  $^1\text{H}$   
42,58 MHz/Tesla

Carbono:  $^{13}\text{C}$   
10,71 MHz/Tesla

## Spin $\frac{1}{2}$

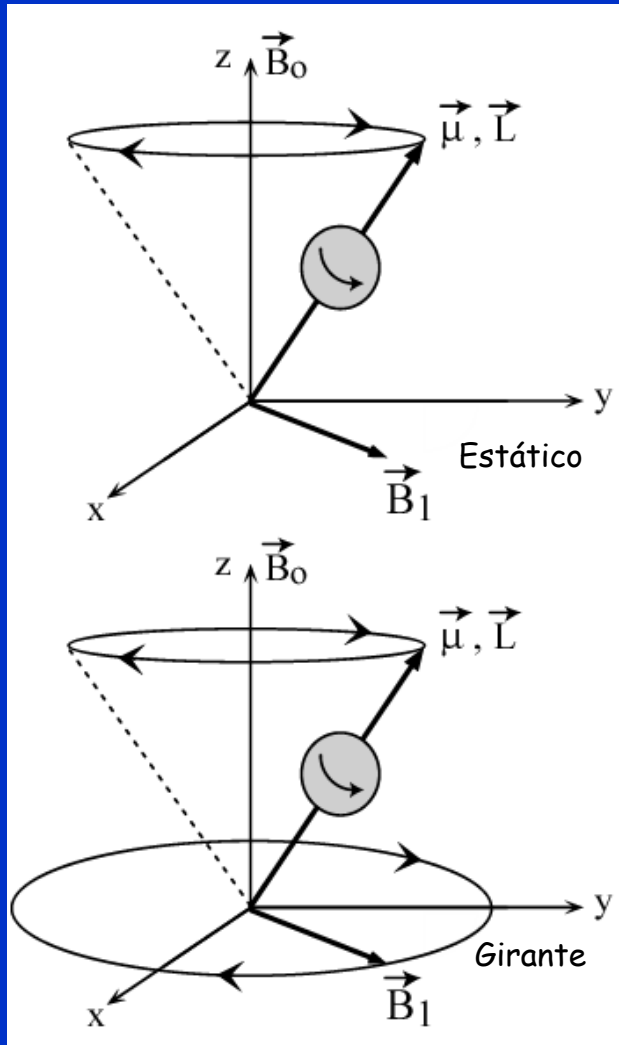


$$E = -\vec{\mu} \cdot \vec{B} = -\gamma \hbar I_z B_z$$

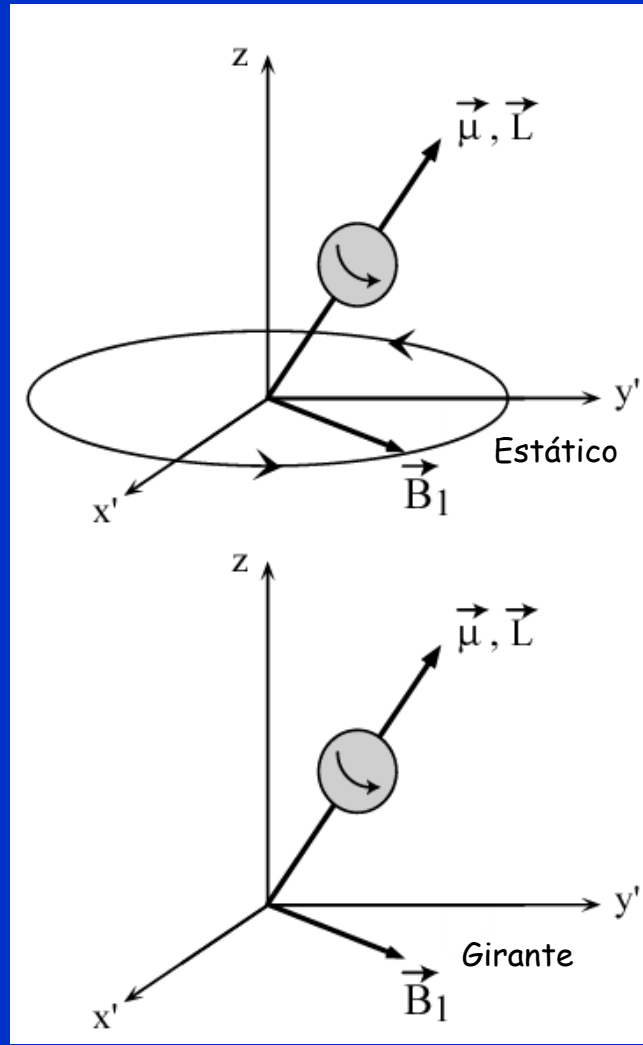
$$= \pm \frac{1}{2} \hbar (\gamma B_z) = \pm \frac{1}{2} \hbar \omega_L$$

# Excitação dos spins - Pulsos de RF

Referencial de laboratório



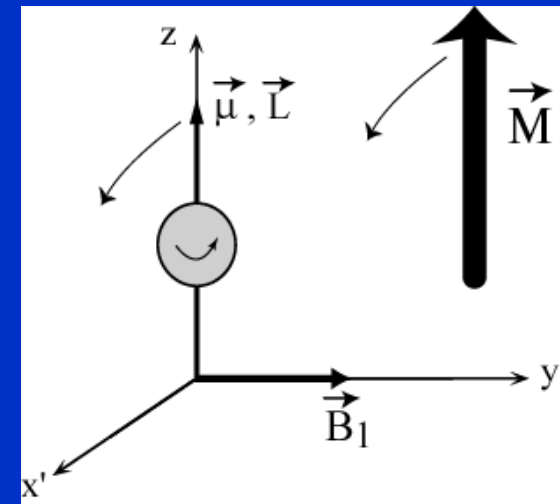
Referencial girante



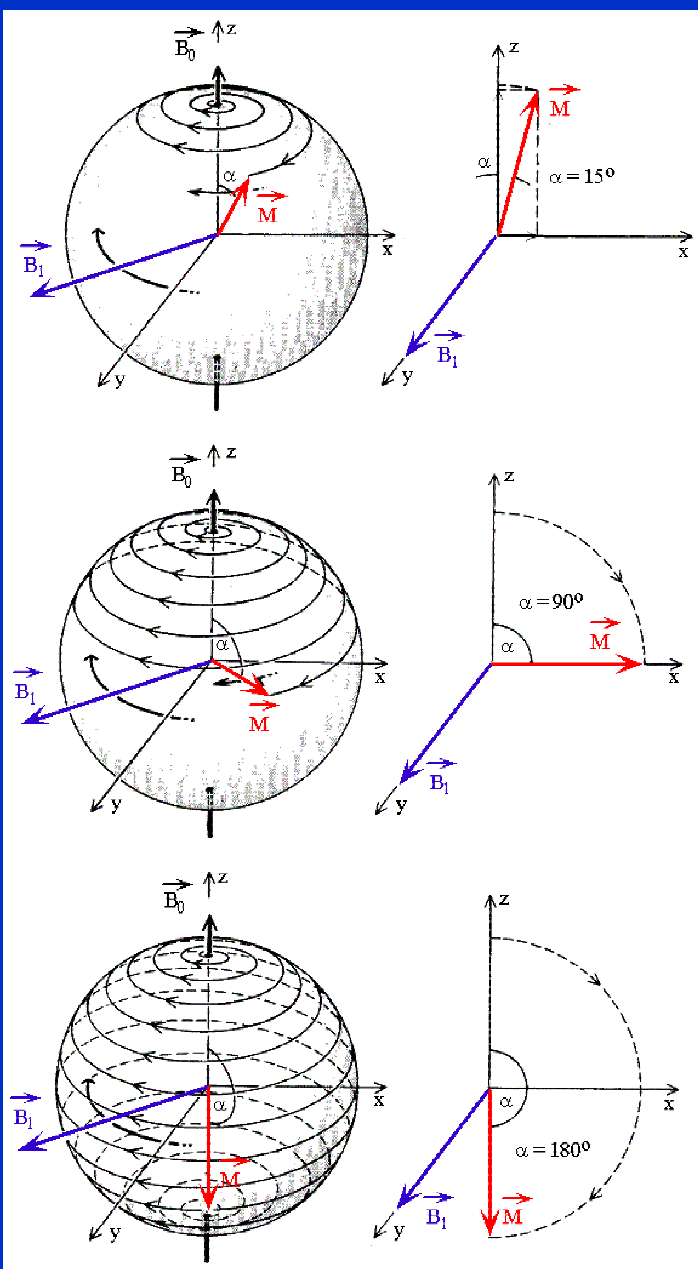
## Ressonância Magnética Nuclear!

Movimento de Precessão do spin em torno de  $B_1$ :

$$v_{\text{Larmor}} = v_L = \gamma B_1$$



# Pulsos de RF



Pulso de RF de  $15^\circ$

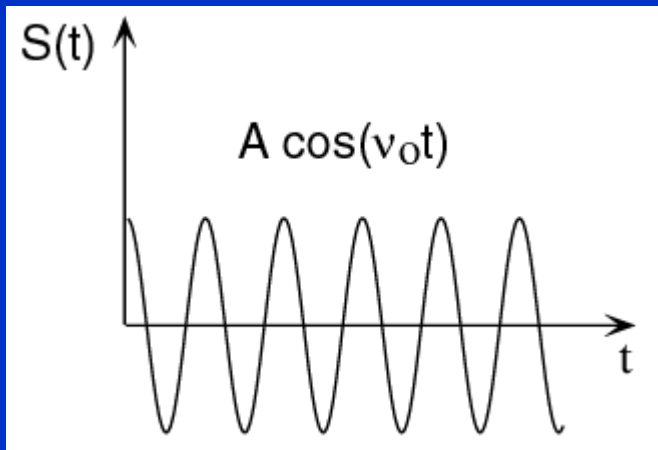
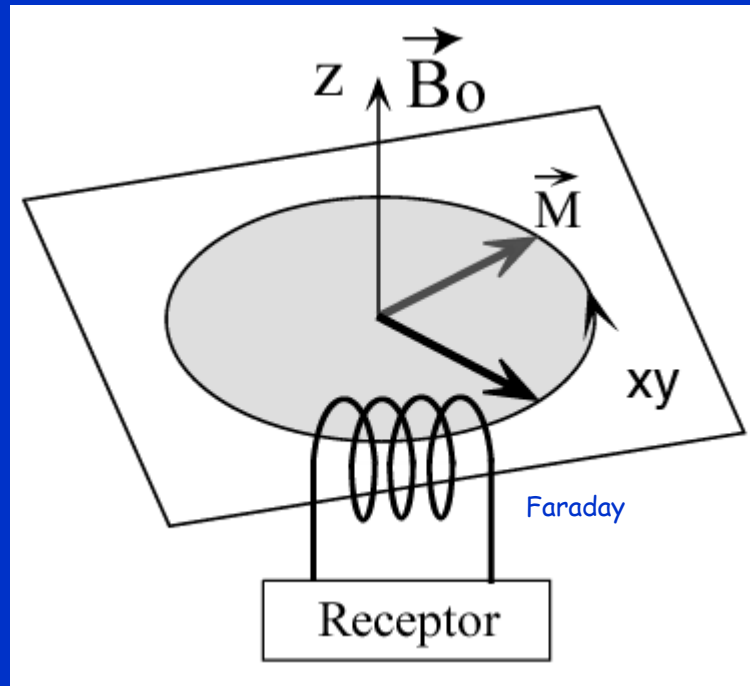
Pulso de RF de  $90^\circ$

Pulso de RF de  $180^\circ$

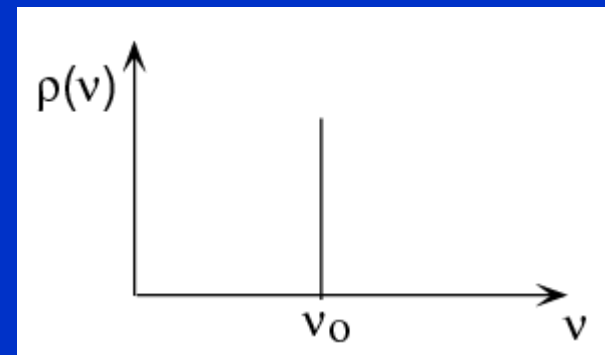
Fases da RF:  $x$ ,  $y$ ,  $-x$  e  $-y$



# Deteção do Sinal de RMN

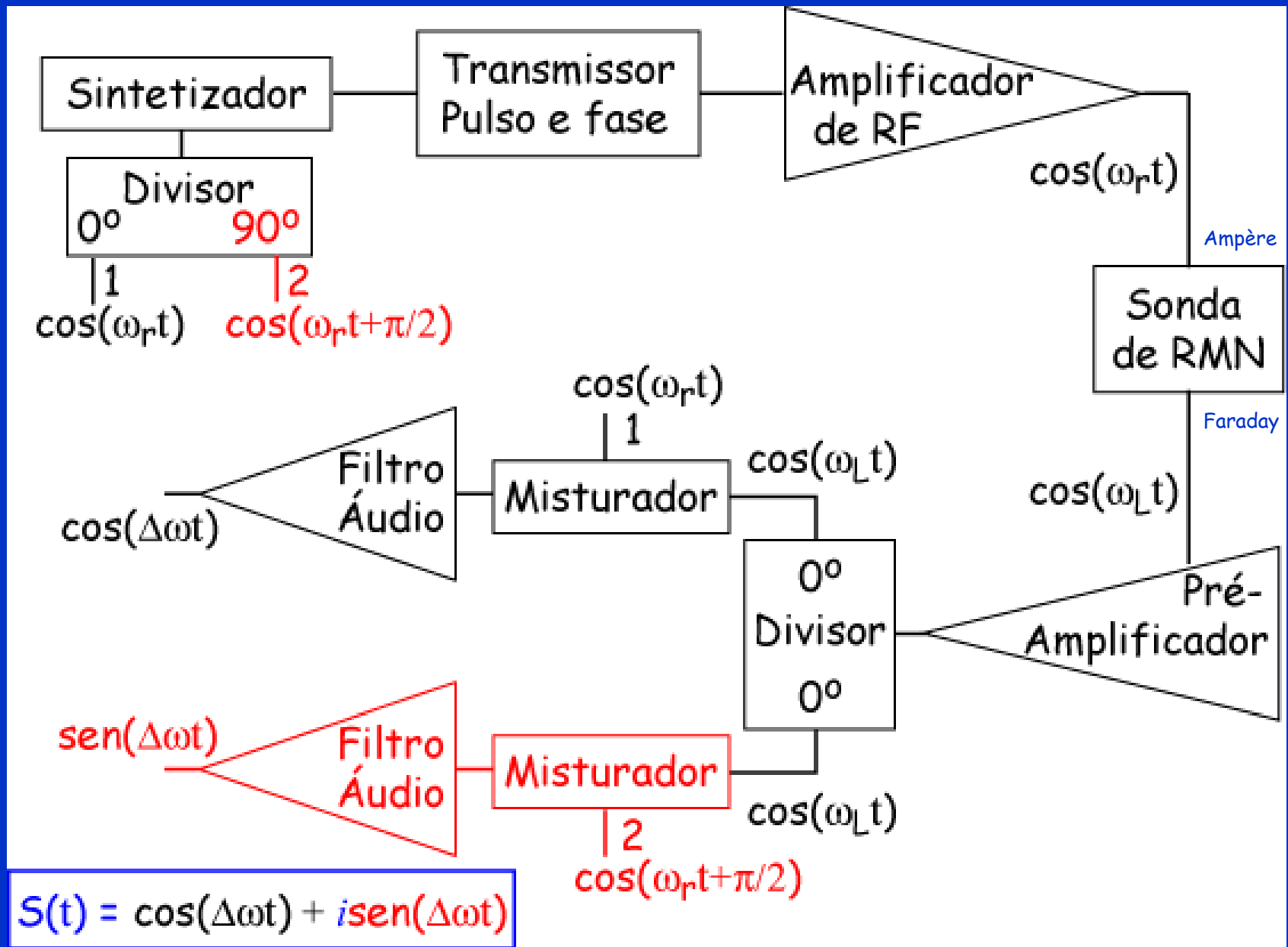


TF  
↔





# Espectrômetro de RMN



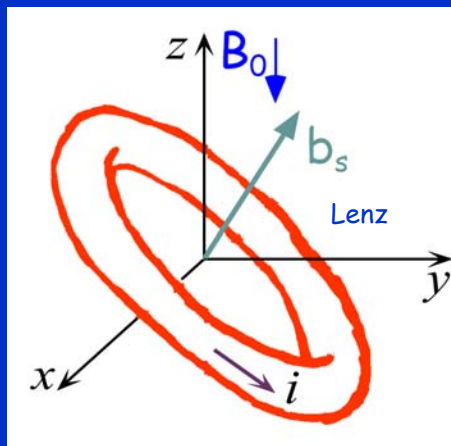
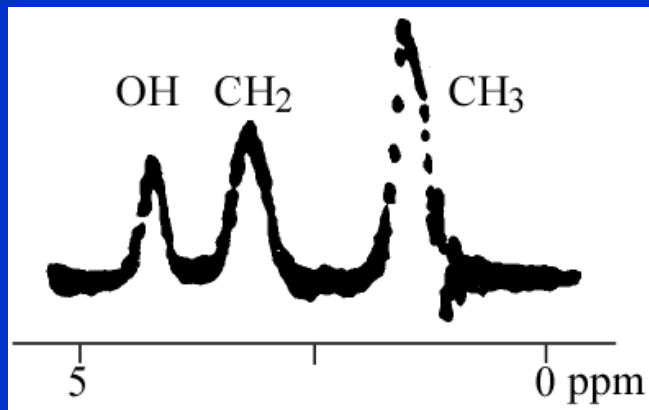
# Interações do Spin - Deslocamento Químico

CHEMICAL EFFECTS ON NUCLEAR INDUCTION SIGNALS FROM ORGANIC COMPOUNDS

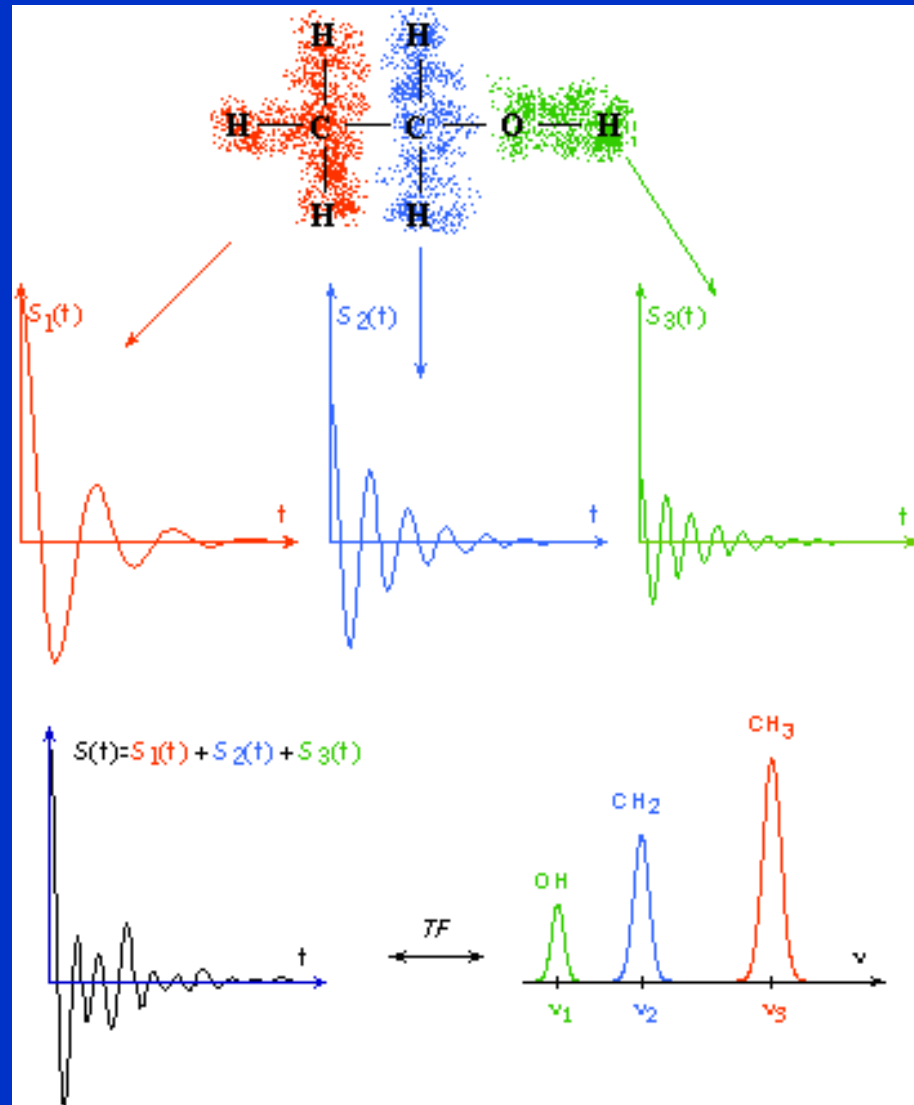
ARNOLD JT, DHARMATTI SS, PACKARD ME

JOURNAL OF CHEMICAL PHYSICS, 19 (4): 507-507 1951

$\text{CH}_3\text{CH}_2\text{OH}$ :



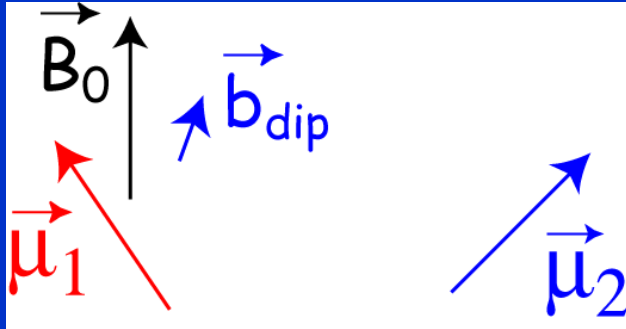
A separação entre as linhas é proporcional a  $B_0$



# Deslocamento Químico Isotrópico do $^1\text{H}$ (0-12 ppm)

Type of Proton	Structure	Chemical Shift, ppm
Cyclopropane	$\text{C}_3\text{H}_6$	0.2
Primary	$\text{R-CH}_3$	0.9
Secondary	$\text{R}_2\text{-CH}_2$	1.3
Tertiary	$\text{R}_3\text{-C-H}$	1.5
Vinyllic	$\text{C=C-H}$	4.6-5.9
Acetylenic	triple bond, $\text{CC-H}$	2-3
Aromatic	$\text{Ar-H}$	6-8.5
Benzylic	$\text{Ar-C-H}$	2.2-3
Allylic	$\text{C=C-CH}_2$	1.7
Fluorides	$\text{H-C-F}$	4-4.5
Chlorides	$\text{H-C-Cl}$	3-4
Bromides	$\text{H-C-Br}$	2.5-4
Iodides	$\text{H-C-I}$	2-4
Alcohols	$\text{H-C-OH}$	3.4-4
Ethers	$\text{H-C-OR}$	3.3-4
Esters	$\text{RCOO-C-H}$	3.7-4.1
Esters	$\text{H-C-COOR}$	2-2.2
Acids	$\text{H-C-COOH}$	2-2.6
Carbonyl Compounds	$\text{H-C-C=O}$	2-2.7
Aldehydic	$\text{R-(H-)C=O}$	9-10
Hydroxylic	$\text{R-C-OH}$	1-5.5
Phenolic	$\text{Ar-OH}$	4-12
Enolic	$\text{C=C-OH}$	15-17
Carboxylic	$\text{RCOOH}$	10.5-12
Amino	$\text{RNH}_2$	1-5

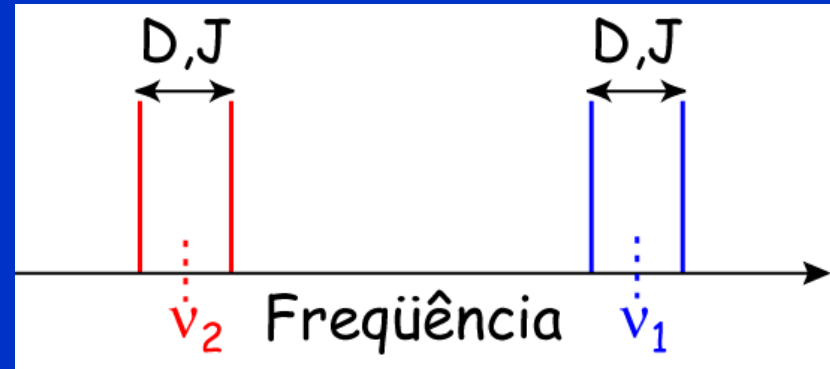
## Interação Dipolar Magnética:



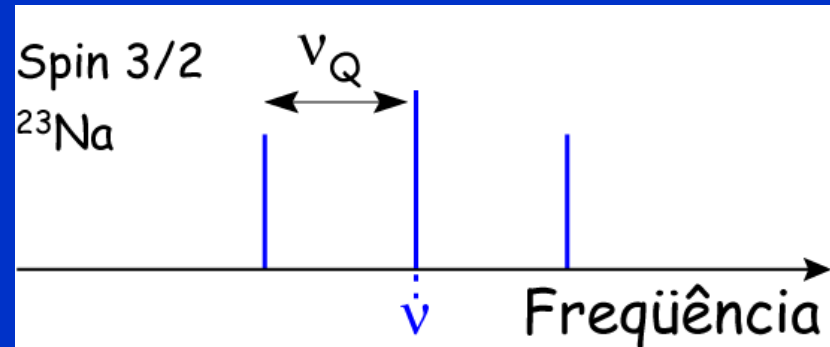
Interação Dipolar D Direta

Acoplamento J

Interação Dipolar através dos elétrons:  
orbital ou elétron-núcleo

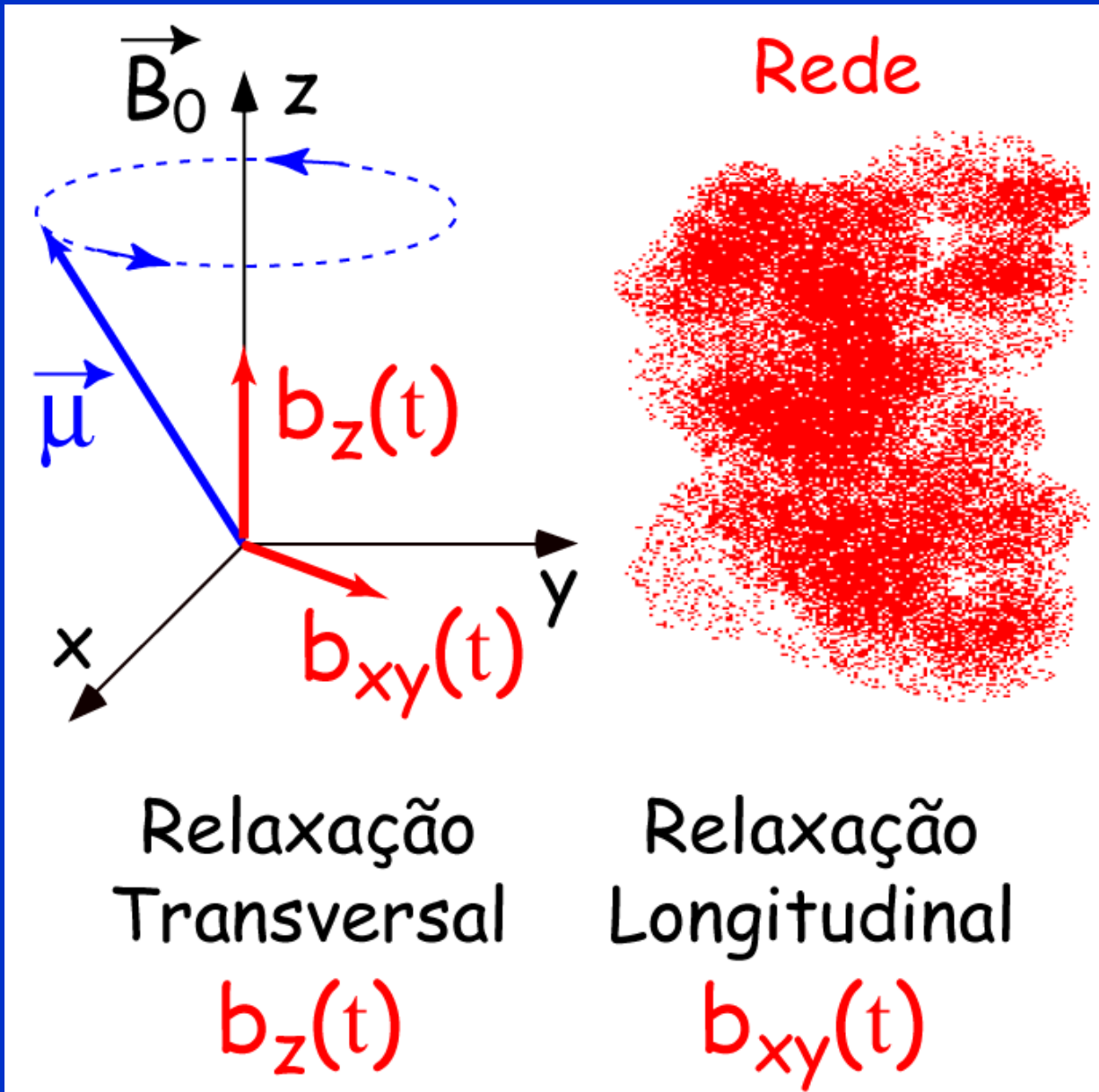


## Interação Quadrupolar Elétrica:





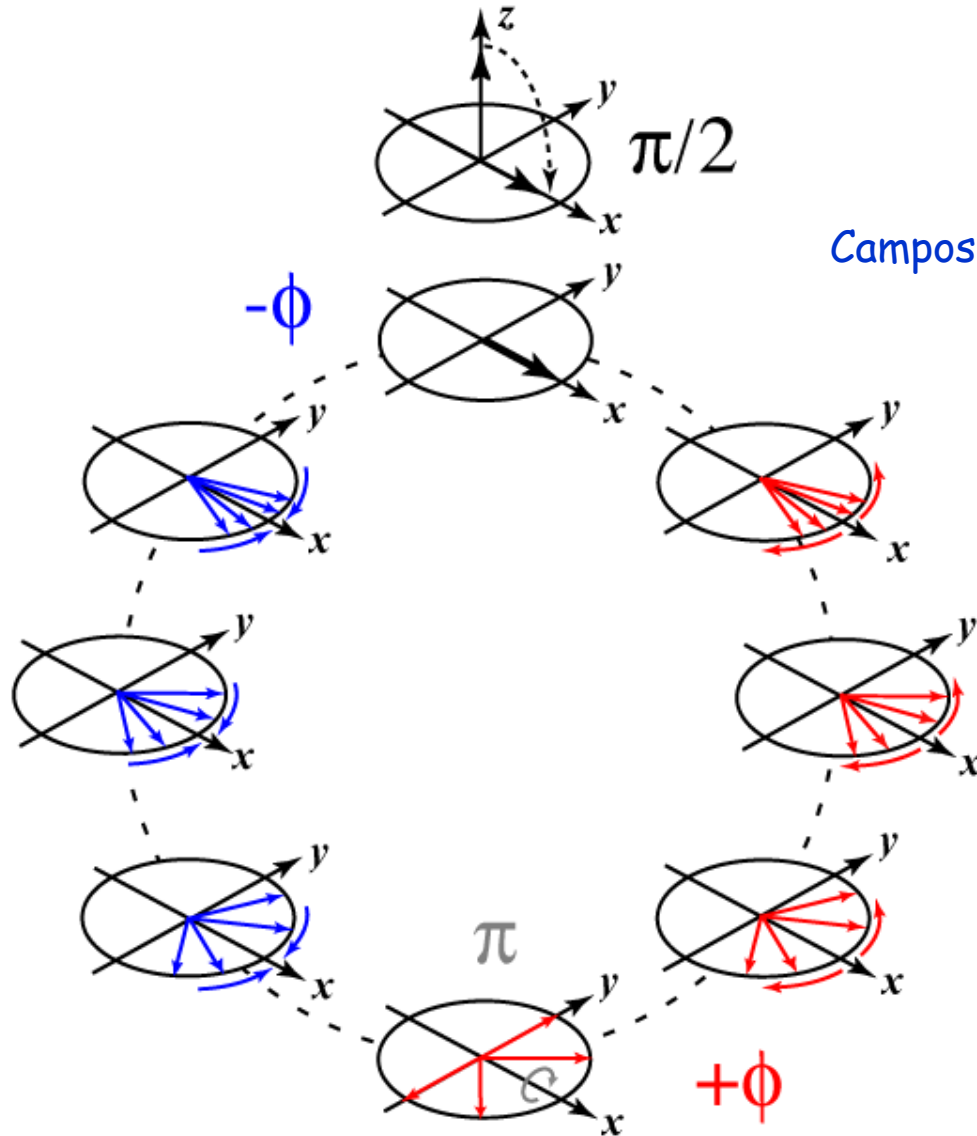
Interação	Intervalo de intensidades (Hz)
<i>Zeeman</i>	$10^6 - 10^9$
<i>Acoplamento J</i>	$0 - 10^2$
<i>Deslocamento Químico</i>	$0 - 10^3$
<i>Dipolar Magnética Direta, D</i>	$0 - 10^4$
<i>Quadrupolar Elétrica</i>	$0 - 10^6$



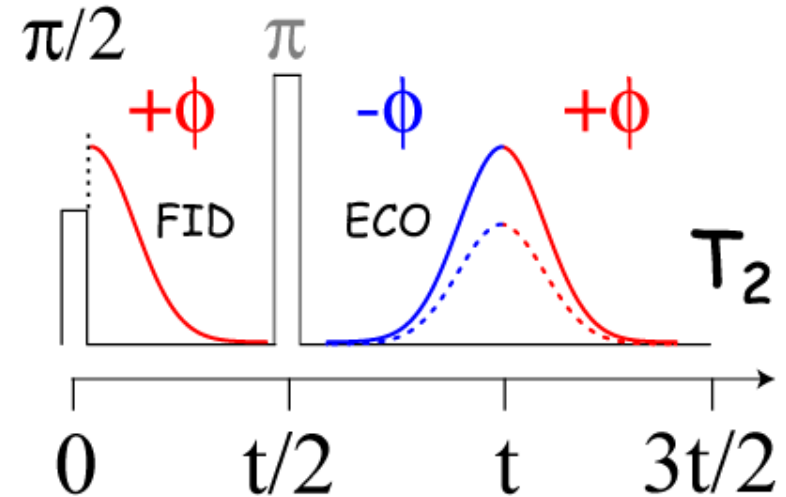


# Relaxação Transversal - $T_2$

## Eco de spin (Hahn):

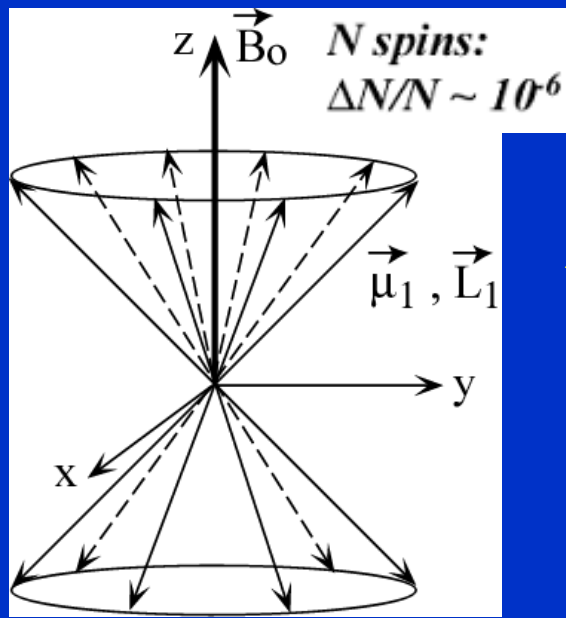
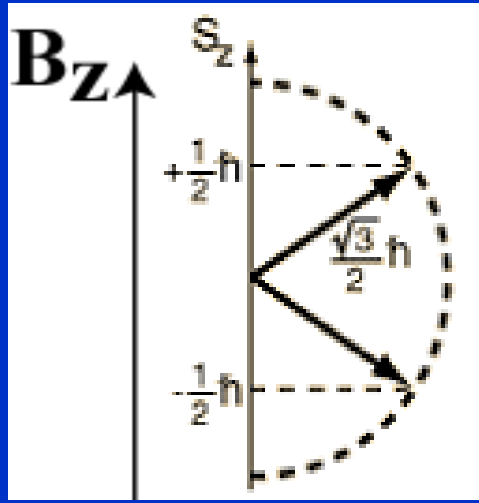


Campos locais na direção  $z$





# Relaxação Longitudinal - $T_1$



$$E = -\vec{\mu} \cdot \vec{B} = -\gamma \hbar I_z B_z$$

$$= \pm \frac{1}{2} \hbar (\gamma B_z) = \pm \frac{1}{2} \hbar \omega_L$$

Campos locais no plano transversal

